

## О минимальной магнитоемкости экранированной 2D-электронной системы

© В.Б. Шикин, Ю.В. Шикина

Институт физики твердого тела Российской академии наук,  
142432 Черноголовка, Московская обл., Россия

(Поступила в Редакцию 17 мая 1996 г.  
В окончательной редакции 4 ноября 1996 г.)

Предложена теория магнитоемкости для частично экранированной 2D-электронной системы. Исследованная модель чувствительна к разным вариантам экранирования в 2D-электронной системе с целочисленным фактором заполнения: так называемому традиционному и самосогласованному, введенному в настоящей работе. Вычисления указывают на важность самосогласованного рассмотрения задачи о магнитоемкости 2D-электронной системы в условиях целочисленности фактора заполнения. Конечные самосогласованные результаты находятся в качественном соответствии с имеющимися экспериментальными данными.

Один из основных вопросов в теории магнитоемкости двумерных систем связан с выяснением природы минимальной магнитоемкости. В традиционных расчетах для двухэлектродного конденсатора, одной из пластин которого является частично экранированная 2D-электронная система (2DEG) (рис. 1, а) с идеальной плотностью состояний и нулевой температурой, минимальная магнитоемкость  $C_{\min}(H)$  стремится к нулю (см., например, [1–4]). Однако более регулярное рассмотрение [5] указывает на наличие в задаче конечного вклада в минимальную емкость краевых состояний 2DEG. Аналогичное утверждение было сформулировано в экспериментальной работе [6]. Из приведенных в [6] результатов следует, что  $C_{\min}(H)$  пропорциональна периметру конденсатора. Этот факт свидетельствует в пользу краевого происхождения минимальной емкости для системы, показанной на рис. 1, а.

В свою очередь краевой сценарий для  $C_{\min}(H)$  не универсален. Влияние краевых электронных состояний на  $C_{\min}(H)$  можно устранить, используя, например, схему, приведенную на рис. 1, б. Этот вариант электростатически эквивалентен схеме, представленной на рис. 1, а, но в нем отсутствуют края 2D-электронной системы, ответственные за конечность  $C_{\min}(H)$  в традиционной теории. Подобная ситуация была исследована экспериментально в [7] с использованием устройства, изображенного на рис. 2.

Для более четкого понимания основных емкостных результатов из [7] имеет смысл ввести несколько вспомогательных определений. Речь идет о традиционных оценках емкости системы, приведенной на рис. 2, в разных предельных случаях. Так, если фактор заполнения двумерной системы не равен целочисленному, то

$$C_{\max}^{\text{theor}} = 2\pi\kappa / \ln(2d/w), \quad \lambda \gg d \gg w, \quad (1)$$

$$C_{\max}^{\text{theor}} = \kappa w/d, \quad \lambda > w \gg d. \quad (1a)$$

Здесь  $\kappa$  — диэлектрическая постоянная,  $\lambda$  — период структуры (рис. 2),  $w$  определяет ширину металлических полосок,  $d$  — толщина спейсера между полосками и 2DEG.

Если же фактор заполнения является целым  $\nu = 1, 2, \dots$ , то

$$C_{\min}^{\text{theor}} = 2\pi\kappa / \ln(2\lambda/w), \quad \lambda \gg w. \quad (2)$$

Результаты эксперимента [7] с относительно маленькими геометрическими параметрами ( $\lambda < 20 \mu\text{m}$ ,  $w < 10 \mu\text{m}$ , что помогает избежать традиционных для низкотемпературных измерений магнитоемкости проблем с экспоненциально малой диагональной проводимостью) качественно не совпадают с предсказаниями (2). Вместо

$$C_{\min}^{\text{exp}} \simeq C_{\min}^{\text{theor}}$$

имеем

$$C_{\max}^{\text{theor}} > C_{\min}^{\text{exp}} \gg C_{\min}^{\text{theor}}. \quad (3)$$

Эти экспериментальные результаты показывают, что даже в отсутствие концов 2DEG электронная система на холловских плато обладает конечными экранирующими свойствами.

В настоящей работе мы предлагаем модификацию традиционной теории магнитоемкости, используя результаты МакДональда и др. [8] о равновесии в пространственно неоднородных двумерных системах с фактором

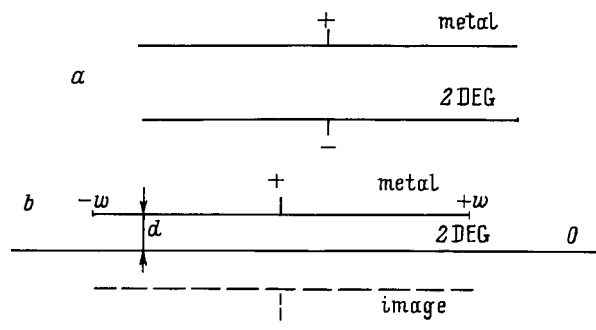
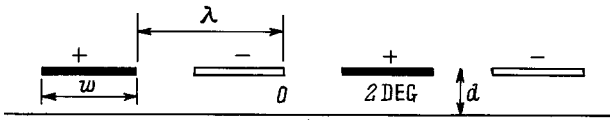


Рис. 1. а) Двухэлектродный конденсатор с резкими краями. б) Двухэлектродный конденсатор с двумерной границей, расположенной вдоль линии, не имеющей сингулярностей электрического поля; штриховой линией обозначено изображение положительного электрода относительно плоскости с нулевым потенциалом.



**Рис. 2.** Схема экспериментальной ячейки из [7]. Две одномерные алюминиевые подрешетки с шириной полосок  $w$  и периодом  $2\lambda$  вложены друг в друга, так что все полоски находятся в плоскости  $z = +d$ , а период возникающей структуры равен  $\lambda$ . Решетка расположена над двумерной электронной системой, занимающей плоскость  $z = 0$ . Потенциалы подрешеток, одна из которых закрашена, а другая нет, равны  $\pm\delta V$ . 2DEG имеет нулевой потенциал. Измеряется емкость между подрешетками.

заполнения, близким к целочисленному. Эта модификация используется далее для описания  $C_{\min}(H)$  в системе, показанной на рис. 1, *a*, как в традиционном (понятие "традиционный подход" будет уточнено далее), так и в самосогласованном приближении.

1) Рассмотрим отдельную металлическую полосу (рис. 1, *b*) над бесконечной 2DEG. Этот вариант может рассматриваться в качестве одного из предельных случаев схемы, приведенной на рис. 2, когда  $\lambda \gg w \gg d$ . Задача о магнетоемкости при этом формулируется следующим образом:

$$[e\varphi(x, z) + e\psi(x, z)]_{z=+d} = eV, \quad -w \leq x \leq +w, \quad (4)$$

$$[e\varphi(x, z) + e\psi(x, z)]_{z=-d} - T \ln S(H, T, \nu_{\text{var}}) = 0, \quad -\infty < x < +\infty, \quad (5)$$

$$\nu_{\text{var}} = \nu(x) \quad \text{или} \quad \nu_{\text{var}} = \nu_*(x), \quad (5a)$$

$$2S(H, T, \nu) = \left(\frac{1}{\nu} - 1\right) + \left[\left(\frac{1}{\nu} - 1\right)^2 + 4\epsilon \left(\frac{2}{\nu} - 1\right)\right]^{1/2}, \quad (5b)$$

$$\epsilon = \exp(-\hbar\omega_c/T) \ll 1, \quad (5b)$$

$$\nu < 2, \quad (5c)$$

$$\nu(x) = \pi l_h^2 n(x), \quad l_h^2 = c\hbar/eH, \quad (5d)$$

$$\nu^*(x) = \pi l_h^2 \left\{ n(x) - \frac{e\langle\nu\rangle}{\hbar\omega_c} [\varphi''(x, -d) + \psi''(x, -d)] \right\}, \quad (5e)$$

$$\varphi'(x, z) = \frac{2e}{\pi} \int_{-\infty}^{+\infty} ds \frac{\delta n(s)(x-s)}{(x-s)^2 + (z+d)^2}, \quad (6)$$

$$\psi'(x, z) = \frac{2e}{\pi} \int_{-w}^{+w} ds \frac{\delta N(s)(x-s)}{(x-s)^2 + (z-d)^2}, \quad (7)$$

$$\delta n(x) = n(x) - \langle n \rangle, \quad \delta N(x) = N(x) - \langle N \rangle. \quad (7a)$$

Два варианта  $\nu(x)$  в приведенных определениях отвечают разным приближениям: традиционному и самосогласованному.

2) Традиционная картина для  $C(H)$  следует из системы (4)–(7), если  $\nu_{\text{var}} = \nu(x)$  имеет форму (5d). Это

приближение использовалось, в частности, в [5] для объяснения экспериментов [6]. Таким же способом можно рассчитать минимальную магнетоемкость и для схемы, показанной на рис. 1, *a*. Вопрос заключается в том, насколько корректен этот результат, что можно выяснить лишь сравнением предсказаний традиционного и самосогласованного подходов.

Основная особенность системы (4)–(7) в традиционном приближении связана с поведением комбинации  $-T \ln S$ . Это выражение имеет скачок ( $0 \rightarrow \hbar\omega$ ), если  $\nu \rightarrow 1$ . С учетом указанного свойства можно использовать теорию возмущений для определения  $\delta N(x)$  и  $\delta n(x)$ .

В нулевом приближении 2DEG электрически пассивна, и граничные условия (4) могут быть удовлетворены с использованием только потенциала  $\psi(x, z)$  (7). В результате имеем

$$\psi_0(x, z)|_{z=+d} = V, \quad -w \leq x \leq +w. \quad (8)$$

Соответствующее распределение плотности  $\delta N_0(x)$  равно

$$\delta N_0(x) = \frac{zeV}{2 \ln 2\pi e \sqrt{w^2 - x^2}}. \quad (9)$$

Требование (5) теперь можно использовать для определения  $\delta n_0(x)$

$$e\psi_0(x, z)|_{z=-d} - T \ln S(h, T, \nu_0(x)) = 0, \quad -\infty < x < +\infty. \quad (10)$$

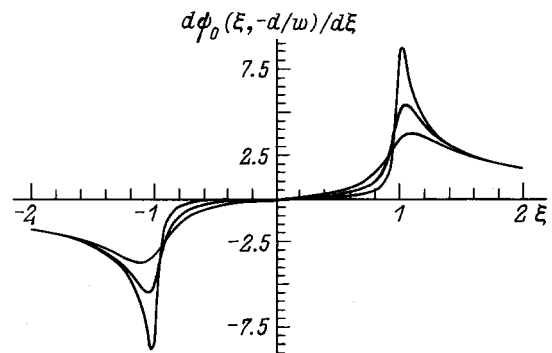
Здесь  $\psi_0(x, z)$  есть потенциал (7) с плотностью  $\delta N_0(x)$  из (9),  $\nu_0(x)$  есть определение (5d) с  $n(x) \rightarrow \langle n_s \rangle + \delta n_0(x)$ ,  $\delta n_0(x)$  есть нулевое приближение для электронной плотности в 2DEG. Используя (10), приходим к заключению, что если

$$\pi l_H^2 \langle n_s \rangle \rightarrow 1,$$

то

$$\delta n_0(x) \ll \delta N_0(x) \quad (11)$$

с точностью  $T/\hbar\omega_c \ll 1$ . Некоторое представление о таком поведении дают рис. 3, 4. Рис. 3 демонстрирует зависимости  $d\psi_0(\xi, -d/w)/d\xi$ ,  $-1 \leq \xi \leq +1$ , для разных отношений  $d/w$ . Рис. 4 иллюстрирует реакцию (10)



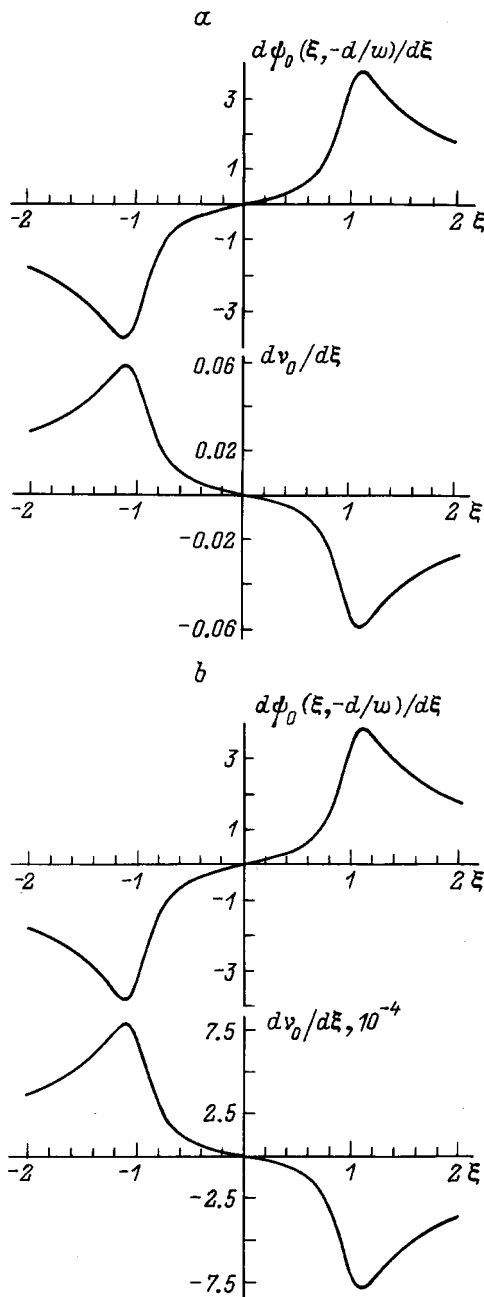
**Рис. 3.** Поведение  $d\psi_0(\xi, -d/w)/d\xi$ ,  $-1 \leq \xi \leq +1$ ,  $\xi = x/w$  с  $\psi_0$  из (7) и  $\delta N_0$  из (9) для  $eV/\hbar\omega_c = 0.5$  и значений  $d/w = 0.1$  (1),  $0.05$  (2) и  $0.02$  (3).

2DEG на это возмущение для двух разных температур  $t = T/\hbar\omega_0$ . Очевидно, эта реакция резко уменьшается при стремлении  $t \rightarrow 0$ .

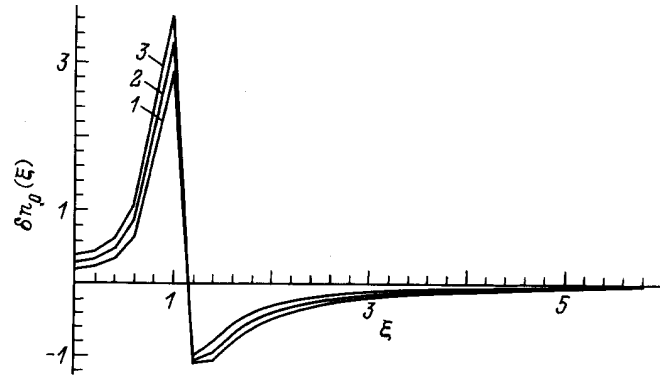
Формула (11) и рис. 4 свидетельствуют о наличии теории возмущений в традиционной постановке задачи о магнитоёмкости (4)–(7). К примеру, первое приближение для  $\delta N_1(x)$  следует (вместо (8)) из уравнения

$$[\psi_1(x, z) + \varphi_0(x, z)]|_{z=+d} = V, \quad -w \leq x \leq +w. \quad (12)$$

Здесь  $\varphi_0(x, z)$  из (6) с  $\delta n_0(x)$  из (10).



**Рис. 4.** Реакция плотности 2DEG  $dv_0/d\xi$ , где  $\nu(x)$  из (5d) с  $n(x) = \langle n \rangle + \delta n_0(x)$  и  $\delta n_0(x)$  из (10), на внешнее возмущение  $d\psi_0(\xi, -d/w)/d\xi$  с  $d/w = 0.1$  и  $t = 0.1$  (a) и  $0.05$  (b),  $t = T/\hbar\omega_c$ .



**Рис. 5.**  $\alpha$ -зависимость  $\delta n_0(\xi)$  (16) в самосогласованном приближении при заданном  $\beta = 0.1$  и  $\alpha = 0.15$  (1) и  $0.25$  (3).

Что касается минимальной магнитоёмкости, то она соответствует ёмкости отдельной металлической полоски без всякого участия в ее формировании двумерной электронной системы.

3) Аналогичная проблема с модификацией  $\nu(x)$ (5d)  $\rightarrow \nu^*(x)$ (5e) оказывается заметно сложнее. Используя, как и выше, предположения (8), (9), приходим к следующему уравнению, аналогичному (10), с  $\nu_0^*(x)$  вместо  $\nu_0(x)$ :

$$e\psi_0(x, z)|_{z=-d} - T \ln S(H, T, \nu_0^*(x)) = 0,$$

$$\nu_0^*(x) = 1 + \Delta_0(x), \quad -\infty < x < +\infty. \quad (13)$$

$$\pi l_h^2 \left\{ \delta n_0(x) - \frac{\nu}{\hbar\omega_c} [\varphi_0''(x, -d) + \psi_0''(x, -d)] \right\} = \Delta_0(x). \quad (14)$$

Очевидно, уравнение (13) для  $\nu_0^*(x)$  не может быть разрешено относительно  $\delta n_0(x)$  с использованием малого параметра  $T/\hbar\omega_c \ll 1$ . Можно лишь найти функцию  $\Delta_0(x)$ , пропорциональную температуре. Но даже обращение этой функции в нуль не упрощает уравнения (14), связывающего между собой  $\delta n(x)$  и  $\delta N(x)$  без участия малого параметра  $T/\hbar\omega_c$ . В результате вместо регулярной теории возмущений для  $\delta n(x)$  возникает лишь некий интерполяционный алгоритм, демонстрирующий тем не менее качественную разницу между двумя приближениями в теории магнитоёмкости.

Отметим кстати, что уравнение (14) эквивалентно условию равновесия из [8] в неоднородной электронной системе с эффективным фактором заполнения, близким к целочисленному в пределе  $\Delta_0(x) \rightarrow 0$ , или (что то же),  $T = 0$ .

Формально определение (14) сводится к интегральному уравнению относительно  $\delta n_0(x)$

$$\int_0^x \delta n_0(s) ds - \frac{2e\nu}{\pi\hbar\omega_c} \int_{-\infty}^{+\infty} \frac{\delta n_0(s) ds}{x-s} = f(x), \quad (15)$$

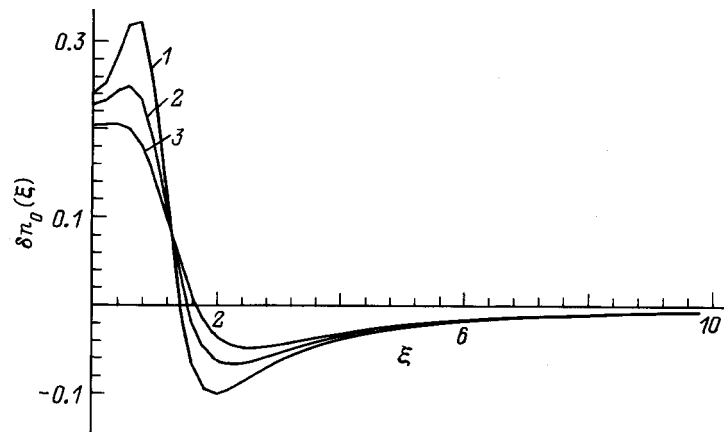


Рис. 6.  $\beta$ -зависимость  $\delta n_0(\xi)$  (16) при фиксированном значении  $\alpha = 0.1$  и  $\beta = 0.65$  (1), 0.85 (2) и 1.05 (3).

$$f(x) = \frac{2e\nu}{\kappa\hbar\omega_c} \int_{-\infty}^{+\infty} \frac{\delta N_0(s)(x-s)ds}{(x-s)^2 + 4d^2} + \int_0^x ds \Delta_0(s)/\pi l_h^2. \quad (15a)$$

Здесь  $\delta N_0(x)$  взято из (9),  $\Delta_0(x)$  есть решение уравнения (13) в терминах  $\delta N_0(x)$ .

Некоторые численные результаты, следующие из (15), (15a) для  $\delta n_0(x)$ , отнесенной к  $\delta N_0(0)$  в пределе  $T \rightarrow 0$ , представлены на рис. 5, 6. Это отношение содержит два параметра ( $\alpha$  и  $\beta$ )

$$\frac{\delta n_0(\xi)}{\delta N_0(0)} = 2\pi\alpha \int_0^{+\infty} \frac{pdp}{1 + \alpha p} J_0(p) \exp(-\beta p) \cos(p\xi),$$

$$\alpha = e^2\nu/(\kappa w\hbar\omega_c), \quad \beta = 2d/w, \quad \xi = x/w. \quad (16)$$

Для  $m_* \simeq 0.07m_e$ ,  $H \sim 1T$ ,  $w \sim 6\mu\text{m}$  и  $\kappa \sim 5$  параметр  $\alpha$  имеет масштаб  $\alpha \leq 10^{-1}$ . Что касается  $\beta$ , этот параметр для данных из [7] также порядка  $\beta \geq 10^{-1}$ . На рис. 5 приведена  $\alpha$ -зависимость (16) при фиксированном значении  $\beta$ . На рис. 6 иллюстрирует  $\beta$ -зависимость отношения (16) при фиксированном  $\alpha$ .

Полезно также вычислить некоторые типичные значения величины

$$\delta = \int_{-\infty}^{+\infty} \delta n_0(s)ds / \int_{-1}^{+1} \delta N_0(s)ds. \quad (17)$$

Если например,  $\beta = 0.1$ , то при  $\alpha = 0.15$ ,  $\delta = 0.174$ , при  $\alpha = 0.20$ ,  $\delta = 0.23$ , при  $\alpha = 0.25$ ,  $\delta = 0.29$ . Приведенные числа иллюстрируют экранирующие возможности 2DEG в нулевом приближении (идеальная экранировка отвечает значению  $\delta = 1$ ).

Таким образом, сравнение двух возможных путей в расчете  $C_{\min}(H)$  демонстрирует качественную разницу этих приближений. Первый сценарий с  $\nu(x)$  из (5d) отвечает диэлектризации 2DEG на холловских плато. Такой вывод следует, например, из анализа рис. 3, 4. Конечно электрическое возмущение  $e\psi_0(x)$  (рис. 3) может

быть компенсировано бесконечно малым возмущением  $\delta n_0(x)$  (рис. 4), стремящимся к нулю в пределе нулевой температуры. Что касается  $C_{\min}(H)$ , то эта величина совпадает здесь с  $C_{\min}^{\text{theor}}(2)$ , (2a).

Самосогласованное приближение с  $\nu(x)$  из (5e) менее удобно для расчетов, но более реалистично. В этом случае 2DEG обладает конечными экранирующими возможностями даже в условиях целочисленности фактора заполнения и нулевой температуры  $T \rightarrow 0$  (см. рис. 5, 6 и комментарии к этим рисункам). Представленная информация недостаточна для корректного определения  $C_{\min}(H)$  в самосогласованном приближении (эта проблема оказывается в основном численной). Но очевидно, что самосогласованная минимальная магнитоемкость превосходит традиционную, и, следовательно, это приближение лучше, чем традиционное, коррелирует с данными [7].

Работа частично финансирована грантом INTAS 93-933, а также грантом Российского фонда фундаментальных исследований № 95-02-06108.

### Список литературы

- [1] L.C. Zhao, D.A. Syphers, B.B. Goldberg, P.J. Stiles. Solid State Commun. **49**, 859 (1984).
- [2] T.P. Smith, B.B. Goldberg, M. Heiblum, P.J. Stiles. Surf. Sci. **170**, 304 (1986).
- [3] V. Moser, D. Weiss, K.V. Klitzing, K. Ploog, G. Weimann. Solid State Commun. **58**, 5 (1986).
- [4] V. Gudmundsson, R.R. Gerhards. Phys. Rev. **B35**, 8005 (1987).
- [5] V.B. Shikin, S.S. Nazin. Phys. Low-Dim. Str. **7**, 73 (1995).
- [6] S. Takaoka, K. Oto, H. Kurimoto, K. Mursae, K. Gamo, S. Nishi. Phys. Rev. Lett. **72**, 3080 (1994).
- [7] F.I.B. Williams, E.I. Andrei et al. Springer Series in Solid-State Sciences / Ed. F. Kuchar, H. Heinrich, G. Bauer. Springer-Ferlag, Berlin-Heidelberg (1990). V. 97. P. 192.
- [8] A.H. MacDonald, T.M. Rise, W.F. Brinkman. Phys. Rev. **B28**, 3648 (1983).